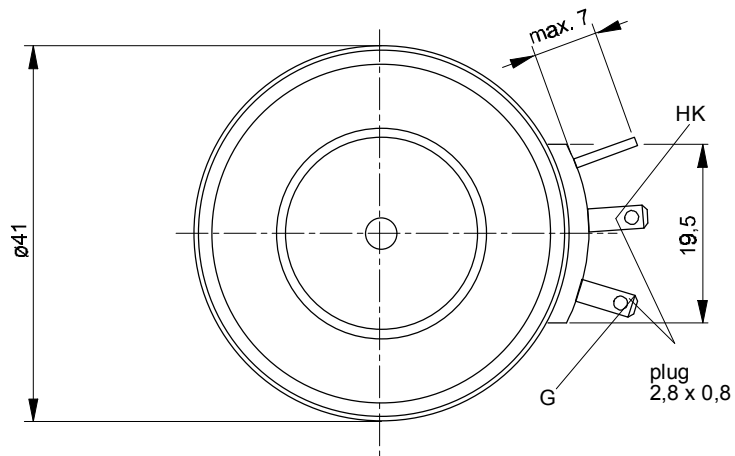
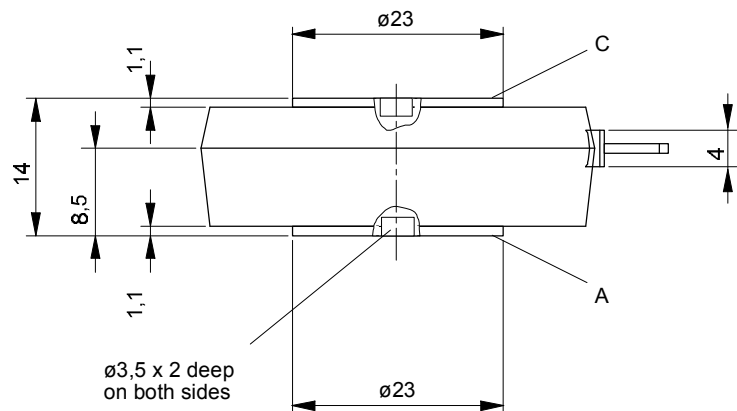




European Power-
Semiconductor and
Electronics Company

Marketing Information T 358 N



T 358 N

Elektrische Eigenschaften		Electrical properties				
<i>Höchstzulässige Werte</i>		<i>Maximum rated values</i>				
Periodische Vorwärts- und Rückwärts-Spitzenperrspannung		repetitive peak forward off-state and reverse voltages	$t_{vj} = -40^\circ\text{C} \dots t_{vj \max}$	V_{DRM}, V_{RRM}	600 800 1000 1200 1400 1600 1800*	V
Vorwärts-Stoßspitzenperrspannung		non-repetitive peak forward off-state voltage	$t_{vj} = -40^\circ\text{C} \dots t_{vj \max}$	$V_{DSM} = V_{DRM}$	600 800 1000 1200 1400 1600 1800*	V
Rückwärts-Stoßspitzenperrspannung		non-repetitive peak reverse voltage	$t_{vj} = +25^\circ\text{C} \dots t_{vj \max}$	$V_{RSM} = V_{RRM}$	700 900 1100 1300 1500 1700 1900	V
Durchlaßstrom-Grenzeffektivwert		RMS on-state current		I_{TRMSM}	700	A
Dauergrenzstrom		average on-state current	$t_c = 85^\circ\text{C}$	I_{TAVM}	358	A
			$t_c = 69^\circ\text{C}$		445	A
Stoßstrom-Grenzwert		surge current	$t_{vj} = 25^\circ\text{C}, t_p = 10 \text{ ms}$ $t_{vj} = t_{vj \max}, t_p = 10 \text{ ms}$	I_{TSM}	5200 4600	A
Grenzlastintegral		$I^2 t$ -value	$t_{vj} = 25^\circ\text{C}, t_p = 10 \text{ ms}$ $t_{vj} = t_{vj \max}, t_p = 10 \text{ ms}$	$I^2 t$	135000 106000	A^2s A^2s
Kritische Stromsteilheit		critical rate of rise of on-state current	$v_D \leq 67\%, V_{DRM}, f = 50 \text{ Hz}$ $f = 50 \text{ Hz}, i_{GM} = 1 \text{ A}, di_G/dt = 1 \text{ A}/\mu\text{s}$	$(di_T/dt)_{cr}$	150	$\text{A}/\mu\text{s}$
Kritische Spannungssteilheit		critical rate of rise of off-state voltage	$t_{vj} = t_{vj \max}, v_D = 67\% V_{DRM}$	$(dv/dt)_{cr}$	1000	$\text{V}/\mu\text{s}$
Charakteristische Werte		Characteristic values				
Durchlaßspannung		on-state voltage	$t_{vj} = t_{vj \max}, i_T = 1200 \text{ A}$	v_T	max. 2,07	V
Schleusenspannung		threshold voltage	$t_{vj} = t_{vj \max}$	$V_{T(TO)}$	0,85	V
Ersatzwiderstand		slope resistance	$t_{vj} = t_{vj \max}$	r_T	0,9	$\text{m}\Omega$
Zündstrom		gate trigger current	$t_{vj} = 25^\circ\text{C}, V_D = 6 \text{ V}$	I_{GT}	max. 200	mA
Zündspannung		gate trigger voltage	$t_{vj} = 25^\circ\text{C}, V_D = 6 \text{ V}$	V_{GT}	max. 2	V
Nicht zündender Steuerstrom		gate non-trigger current	$t_{vj} = t_{vj \max}, V_D = 6 \text{ V}$	I_{GD}	max. 10	mA
Nicht zündende Steuerspannung		gate non-trigger voltage	$t_{vj} = t_{vj \max}, V_D = 0,5 V_{DRM}$	V_{GD}	max. 0,2	V
Haltestrom		holding current	$t_{vj} = 25^\circ\text{C}, V_D = 6 \text{ V}, R_A = 5 \Omega$	I_H	max. 300	mA
Einraststrom		latching current	$t_{vj} = 25^\circ\text{C}, V_D = 6 \text{ V}, R_{GK} \geq 10 \Omega$ $i_{GM} = 1 \text{ A}, di_G/dt = 1 \text{ A}/\mu\text{s}, t_g = 20 \mu\text{s}$	I_L	max. 1,2	A
Vorwärts- und Rückwärts-Sperrstrom		forward off-state and reverse currents	$t_{vj} = t_{vj \max}, V_D = V_{DRM}, V_R = V_{RRM}$	i_D, i_R	max. 50	mA
Zündverzug		gate controlled delay time	$t_{vj} = 25^\circ\text{C}, i_{GM} = 1 \text{ A}, di_G/dt = 1 \text{ A}/\mu\text{s}$	t_{gd}	max. 3	μs
Freiwerdezeit		circuit commutated turn-off time	siehe Techn. Erl./see Techn. Inf.	t_q	typ. 250	μs
Thermische Eigenschaften		Thermal properties				
Innerer Wärmewiderstand für beidseitige Kühlung		thermal resistance, junction to case for two-sided cooling	$\Theta = 180^\circ \text{ el, sin}$	R_{thJC}	max. 0,068	$^\circ\text{C}/\text{W}$
für anodenseitige Kühlung		for anode-sided cooling	DC		max. 0,065	$^\circ\text{C}/\text{W}$
für kathodenseitige Kühlung		for cathode-sided cooling	$\Theta = 180^\circ \text{ el, sin}$ DC	$R_{thJC(A)}$	max. 0,113 max. 0,11	$^\circ\text{C}/\text{W}$ $^\circ\text{C}/\text{W}$
Übergangs-Wärmewiderstand		thermal resistance, case to heatsink	$\Theta = 180^\circ \text{ el, sin}$ beidseitig/two-sided einseitig/one-sided	R_{thCK}	max. 0,159 max. 0,156	$^\circ\text{C}/\text{W}$ $^\circ\text{C}/\text{W}$
Höchstzul. Sperrsichttemperatur		max. junction temperature		$t_{vj \max}$	125	°C
Betriebstemperatur		operating temperature		$t_{c op}$	-40...+125	°C
Lagertemperatur		storage temperature		t_{stg}	-40...+140	°C
Mechanische Eigenschaften		Mechanical properties				
Si-Elemente mit Druckkontakt		Si-pellet with pressure contact				
Anpreßkraft		clamping force		F	4...8	kN
Gewicht		weight		G	typ. 70	g
Kriechstrecke		creepage distance			17	mm
Feuchteklass		humidity classification	DIN 40040			C
Schwingfestigkeit		vibration resistance	$f = 50 \text{ Hz}$		50	m/s^2
Maßbild, anliegend		outline, attached	DIN 41814-151 A4			

* Für größere Stückzahlen Liefertermin erfragen / Delivery for larger quantities on request

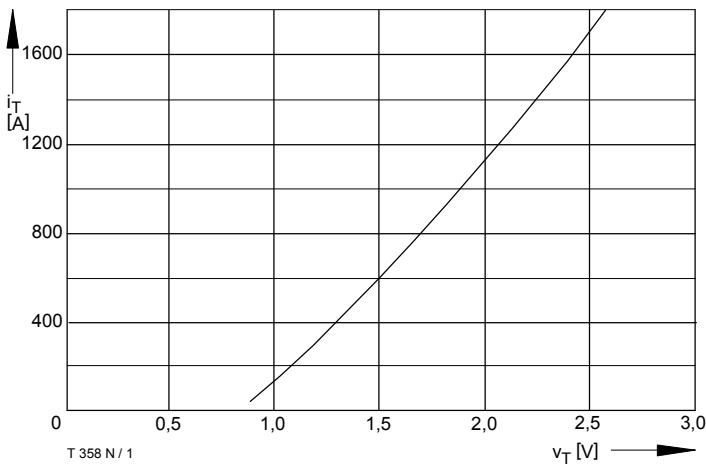


Bild / Fig. 1
Grenzdurchlaßkennlinie / Limiting on-state characteristic
 $i_T = f(v_T)$, $t_{vj} = t_{vj \max}$

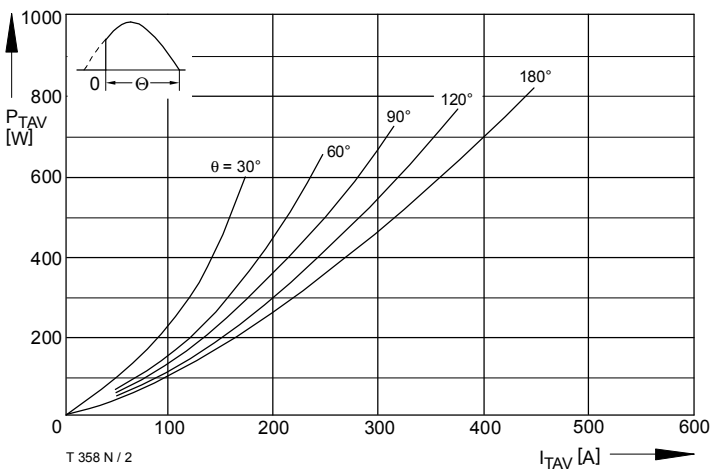


Bild / Fig. 2
Durchlaßverlustleistung / On-state power loss $P_{TAV} = f(I_{TAVM})$
Parameter: Stromflußwinkel / Current conduction angle θ

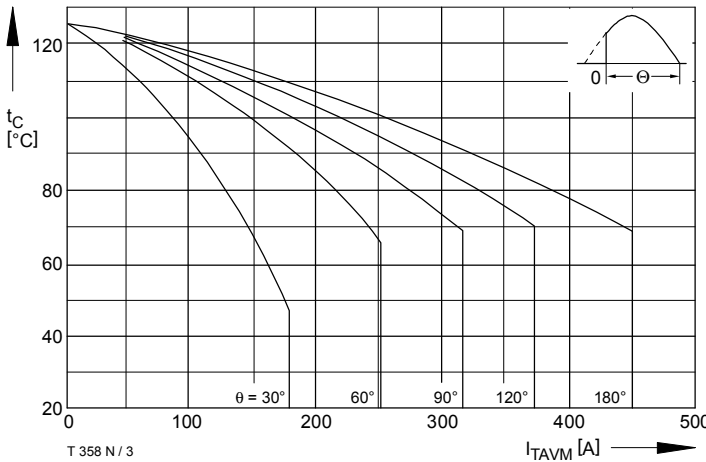


Bild / Fig. 3
Höchstzulässige Gehäusetemperatur / Max. allowable case temperature
 $t_C = f(I_{TAVM})$
Beidseitige Kühlung / Two-sided cooling
Parameter: Stromflußwinkel / Current conduction angle θ

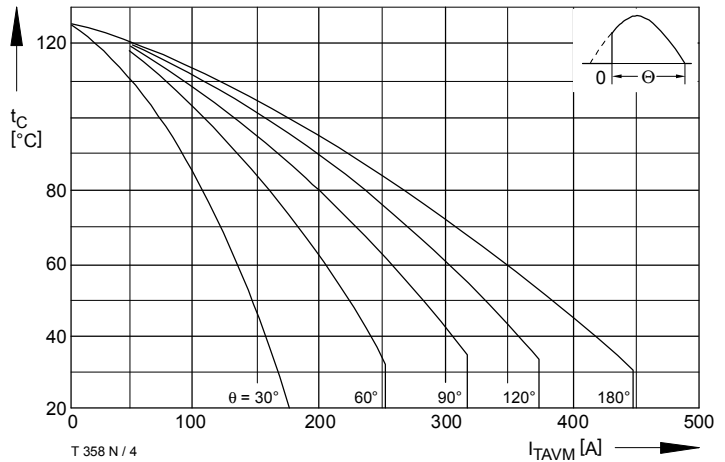


Bild / Fig. 4
Höchstzulässige Gehäusetemperatur / Max. allowable case temperature
 $t_C = f(I_{TAVM})$
Anodenseitige Kühlung / Anode-sided cooling
Parameter: Stromflußwinkel / Current conduction angle θ

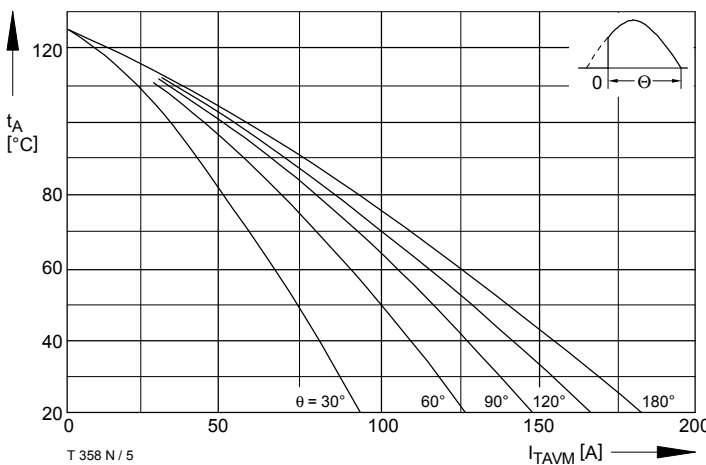


Bild / Fig. 5
Höchstzulässige Kühlmitteltemperatur / Max. allowable cooling medium temperature $t_A = f(I_{TAVM})$
Luftselbstkühlung / Natural air cooling
Kühlkörper / Heatsink: K0.36S
Parameter: Stromflußwinkel / Current conduction angle θ

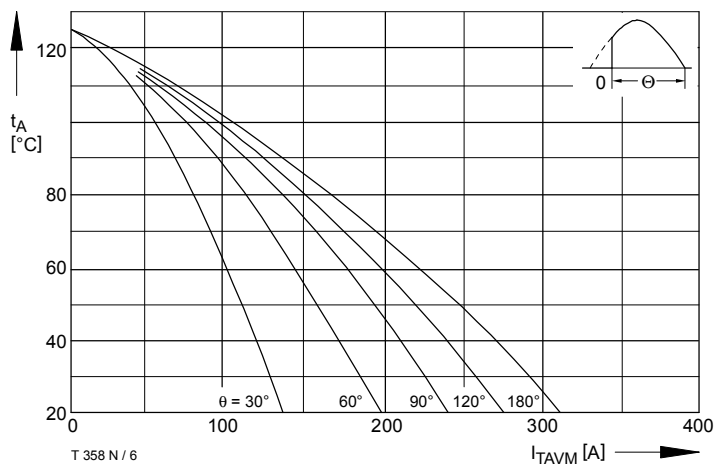


Bild / Fig. 6
Höchstzulässige Kühlmitteltemperatur / Max. allowable cooling medium temperature $t_A = f(I_{TAVM})$
Verstärkte Luftkühlung / Forced air cooling
Kühlkörper / Heatsink: KO.12F, $V_L = 50$ l/s
Parameter: Stromflußwinkel / Current conduction angle θ

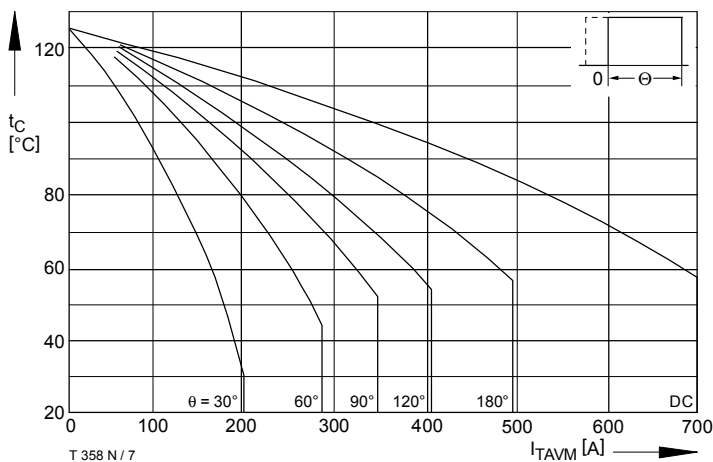


Bild / Fig. 7
Durchlaßverlustleistung / On-state power loss $P_{TAV} = f(I_{TAV})$
Parameter: Stromflußwinkel / Current conduction angle θ

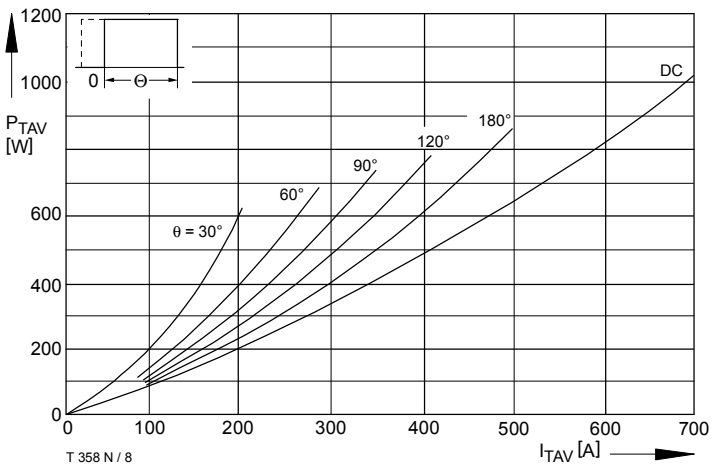


Bild / Fig. 8
Höchstzulässige Gehäusetemperatur / Max. allowable case temperature $t_C = f(I_{TAVM})$
Beidseitige Kühlung / Two-sided cooling
Parameter: Stromflußwinkel / Current conduction angle θ

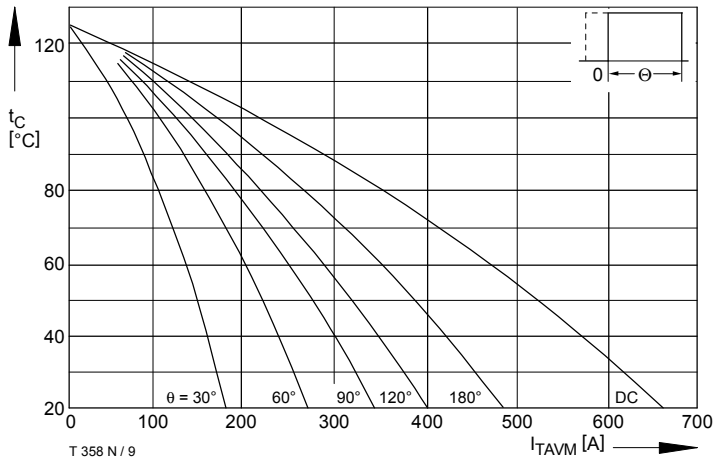


Bild / Fig. 9
Höchstzulässige Gehäusetemperatur / Max. allowable case temperature $t_C = f(I_{TAVM})$
Anodenseitige Kühlung / Anode-sided cooling
Parameter: Stromflußwinkel / Current conduction angle θ

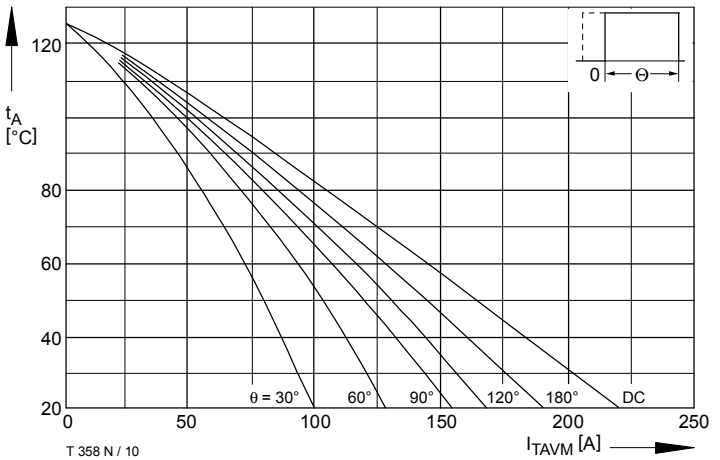


Bild / Fig. 10
Höchstzulässige Kühlmitteltemperatur / Max. allowable cooling medium temperatur $t_A = f(I_{TAVM})$
Luftselbstkühlung / Natural air-cooling
Kühlkörper / Heatsink: K0.36S
Parameter: Stromflußwinkel / Current conduction angle θ

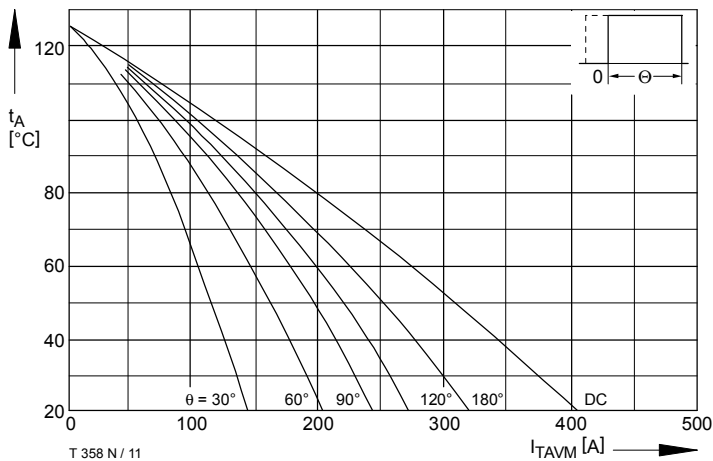


Bild / Fig. 11
Höchstzulässige Kühlmitteltemperatur / Max. allowable cooling medium temperatur $t_A = f(I_{TAVM})$
Verstärkte Luftkühlung / forced air cooling
Kühlkörper / Heatsink: K0.12F, $V_L = 50$ l/s
Parameter: Stromflußwinkel / Current conduction angle θ

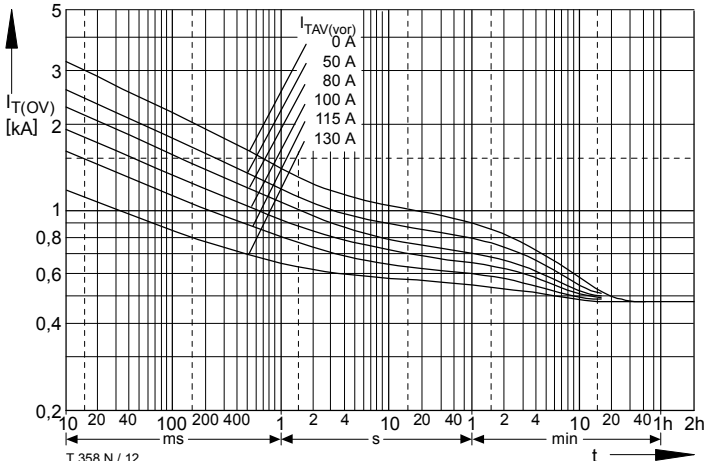


Bild / Fig. 12
Überstrom / Overload on-state current $I_{T(OV)} = f(t)$
Luftselbstkühlung / Natural air-cooling $t_A = 45^\circ C$
Kühlkörper / Heatsink: K0.36S
Parameter: Vorlaststrom / Pre-load current $I_{TAV(vor)}$

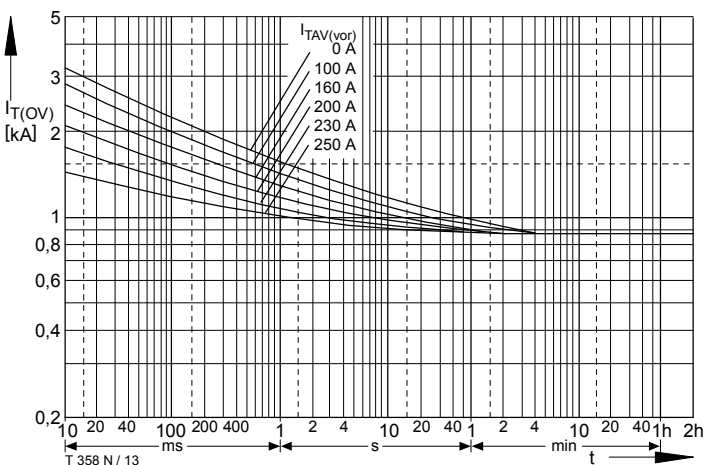


Bild / Fig. 13

Überstrom / Overload on-state current $I_{T(OV)} = f(t)$
Verstärkte Luftkühlung / Forced air-cooling, $t_A = 35^\circ\text{C}$
Kühlkörper / Heatsink: K0.12F, $V_L = 50 \text{ l/s}$
Parameter: Vorlaststrom / Pre-load current $I_{TAV(vor)}$

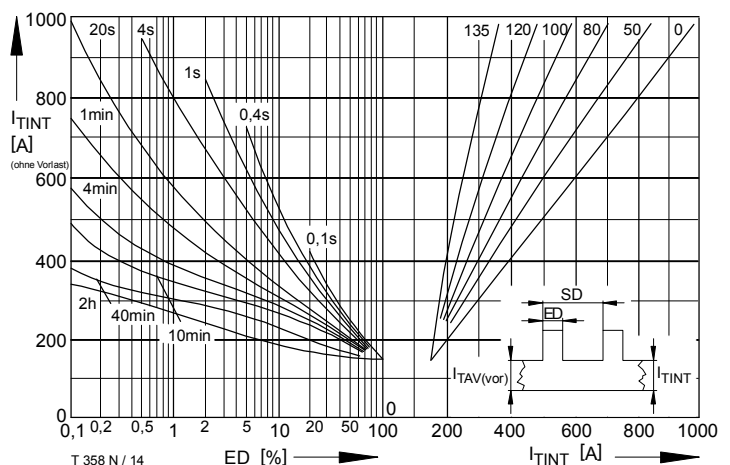


Bild / Fig. 14

Höchstzulässiger Durchlaßstrom bei Aussetzbetrieb / Max. allowable on-state current at intermittent operation $I_{TINT} = f(ED)$
Luftselbstkühlung / Natural air-cooling, $t_A = 45^\circ\text{C}$
Kühlkörper / Heatsink: K0.36S
Parameter: Spieldauer / Cycle duration SD
Vorlaststrom / Pre-load current $I_{TAV(vor)}$

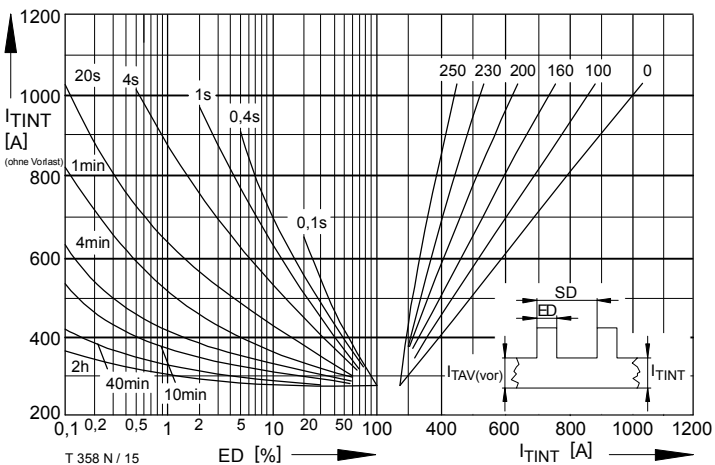


Bild / Fig. 15

Höchstzulässiger Durchlaßstrom bei Aussetzbetrieb / Max. allowable on-state current at intermittent operation $I_{TINT} = f(ED)$
Verstärkte Luftkühlung / Forced air-cooling, $t_A = 35^\circ\text{C}$
Kühlkörper / Heatsink: K0.12F, $V_L = 50 \text{ l/s}$
Parameter: Spieldauer / Cycle duration SD
Vorlaststrom / Pre-load current $I_{TAV(vor)}$

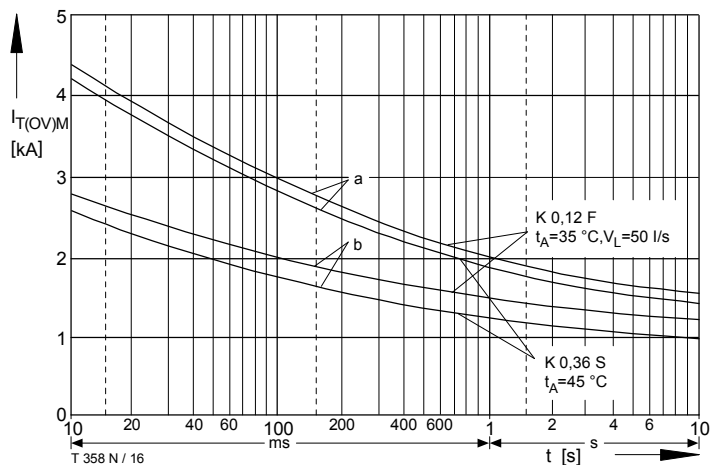


Bild / Fig. 16

Grenzstrom / Max. overload on-state current $I_{T(OV)M} = f(t)$, $V_{RM} = 0.8 V_{RRM}$
Beidseitige Kühlung / Two-sided cooling
Kühlkörper / Heatsink: K0.36S, K0.12F
Belastung aus / Surge current occurs:
a - Leerlauf / No-load conditions
b - Betrieb mit Dauergrenzstrom / During operation at max. average on-state current I_{TAVM}

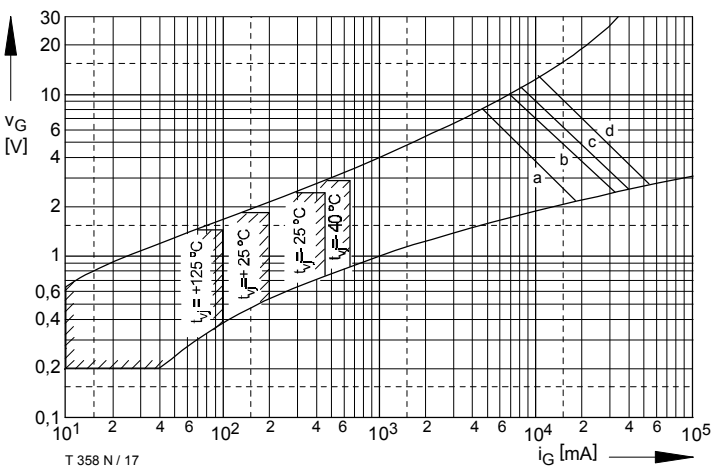


Bild / Fig. 17

Steuercharakteristik mit Zündbereichen / Gate characteristic with triggering areas $v_G = f(i_G)$, $V_D = 6 \text{ V}$
Parameter:
Steuerimpulsdauer / trigger pulse duration t_g [ms] 10 1 0,5 0,1
Höchstzulässige Spitzensteuerverlustleistung / Max. rated peak gate power dissipation [W] 40 80 100 150

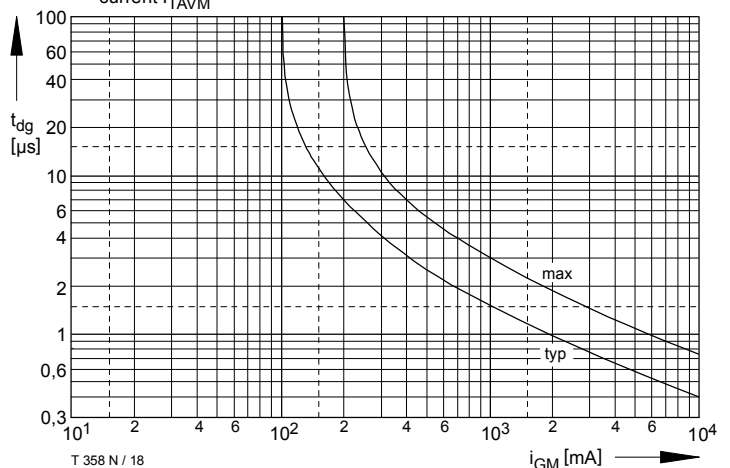


Bild / Fig. 18

Zündverzug / Gate controlled delay time $t_{dg} = f(i_{GM})$
 $t_{vj} = 25^\circ\text{C}$, $di_G/dt = i_{GM}/1\mu\text{s}$
a - Maximaler Verlauf / Limiting characteristic
b - Typischer Verlauf / Typical characteristic

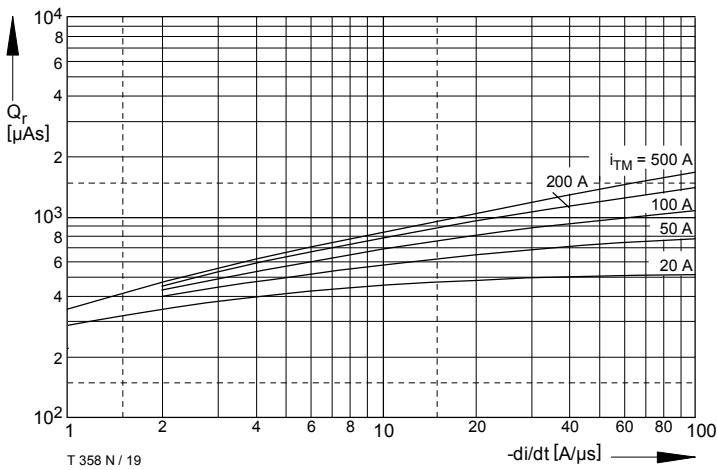


Bild / Fig. 19
Sperrverzögerungsladung / Recovered charge $Q_r = f(\frac{di}{dt})$
 $t_{vj} = t_{vj \max}$, $V_R = 0,5 V_{RRM}$, $V_{RM} = 0,8 V_{RRM}$
Parameter: Durchlaßstrom / On-state current i_{TM}

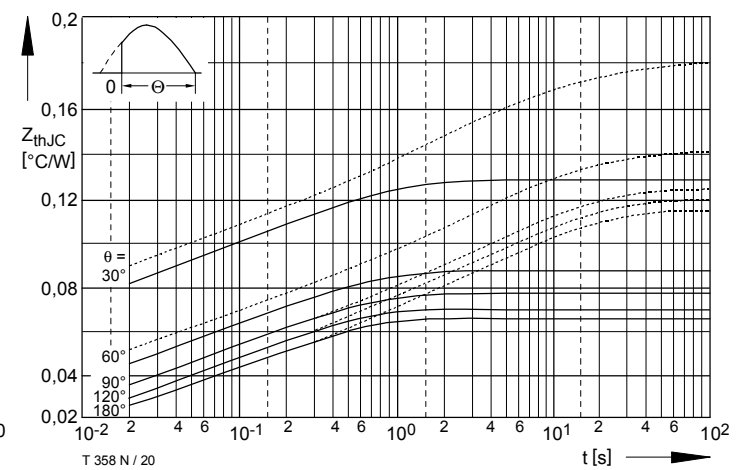


Bild / Fig. 20
Transienter innerer Wärmewiderstand / Transient thermal impedance $Z_{thJC} = f(t)$
--- Anodenseitige Kühlung / Anode-sided cooling
— Beidseitige Kühlung / Two-sided cooling
Parameter: Stromflußwinkel / current conduction angle θ

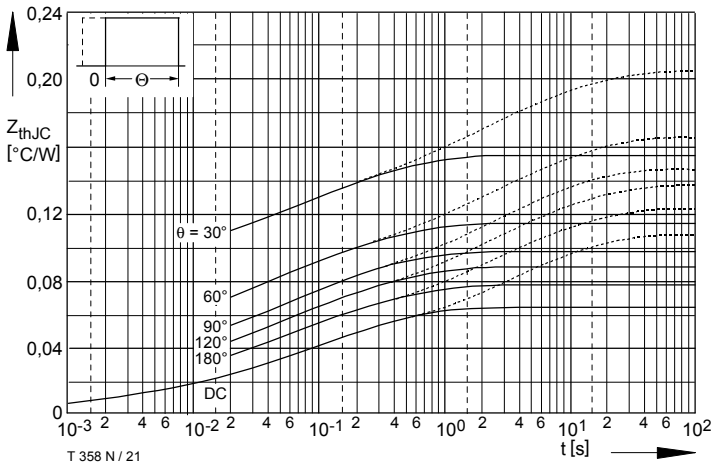


Bild / Fig. 21
Transienter innerer Wärmewiderstand / Transient thermal impedance $Z_{thJC} = f(t)$
--- Anodenseitige Kühlung / Anode-sided cooling
— Beidseitige Kühlung / Two-sided cooling
Parameter: Stromflußwinkel / current conduction angle θ

Analytische Elemente des transienten Wärmewiderstandes Z_{thJC} pro Zweig für DC
Analytical elements of transient thermal impedance Z_{thJC} per arm for DC

Beidseitig / Two-sided

Pos. n	1	2	3	4	5	6
$R_{thn} [\text{°C/W}]$	0,00832	0,0151	0,0181	0,0207	0,00286	
$\tau_n [\text{s}]$	0,000826	0,0166	0,0808	0,359	1,957	

Anodenseitig / Anode-sided

Pos. n	1	2	3	4	5	6
$R_{thn} [\text{°C/W}]$	0,00961	0,00543	0,0209	0,0142	0,0271	0,0328
$\tau_n [\text{s}]$	0,00104	0,0133	0,0364	0,23	1,52	10,5

Kathodenseitig / Cathode-sided

Pos. n	1	2	3	4	5	6
$R_{thn} [\text{°C/W}]$	0,0098	0,0186	0,0157	0,0617	0,0502	
$\tau_n [\text{s}]$	0,00106	0,0027	0,0994	2,04	10,2	

Analytische Funktion / Analytical function:

$$Z_{thJC} = \sum_{n=1}^{n_{\max}} R_{thn} (1 - e^{-\frac{t}{\tau_n}})$$